

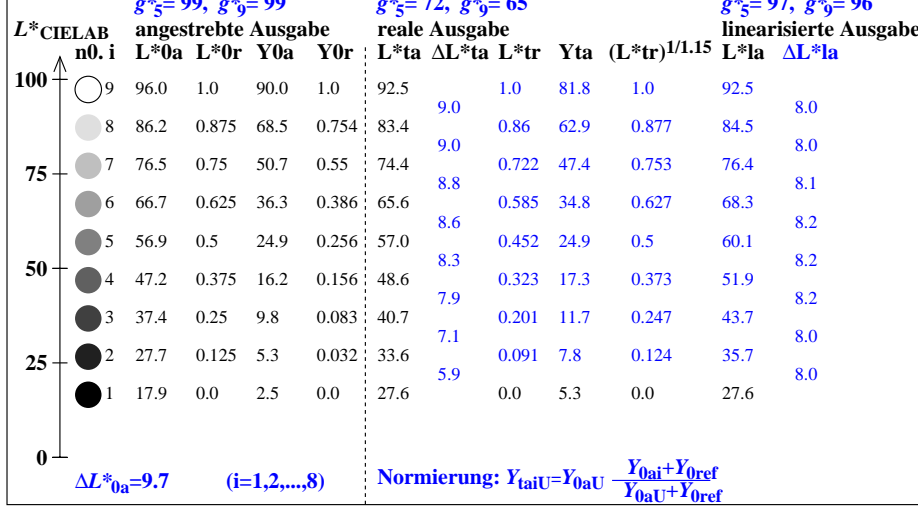
9stufige Grauskalierung zwischen $L^*_{0aN}=17.9$ und $L^*_{0aW}=95.9$, $Y_{0ref}=3.6$, Normierung Grau U

$L^*_{0aN}=17.9$, $L^*_{0aU}=56.9$, $L^*_{0aW}=96.0$, $Y_{0aN}=2.5$, $Y_{0aU}=24.9$, $Y_{0aW}=90.0$, $C_{0aY}=Y_{0aW}:Y_{0aN}=36.0$

$L^*_{taN}=27.6$, $L^*_{taU}=57.0$, $L^*_{taW}=92.5$, $Y_{taN}=5.3$, $Y_{taU}=24.9$, $Y_{taW}=81.8$, $C_{taY}=Y_{taW}:Y_{taN}=15.3$

Regularitätsindex nach ISO/IEC 15775:2022, Anhang G für 5 und 9 Stufen

$g^* = 100 [\Delta L^*_{min}] / [\Delta L^*_{max}]$, $L^*_{CIELAB} = 116 [Y/Y_n]^{1/3} - 16$ mit $Y >= 0,882$, $Y_n=100$



egp90-3n

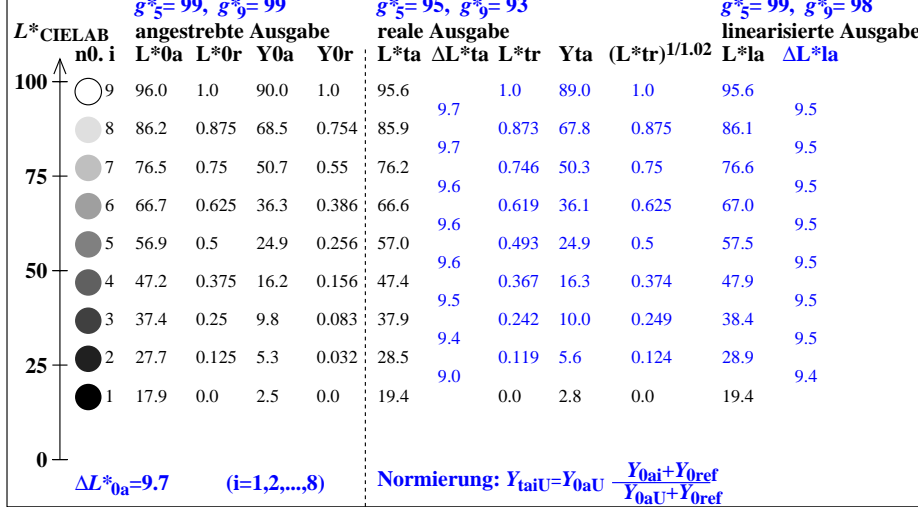
9stufige Grauskalierung zwischen $L^*_{0aN}=17.9$ und $L^*_{0aW}=95.9$, $Y_{0ref}=0.4$, Normierung Grau U

$L^*_{0aN}=17.9$, $L^*_{0aU}=56.9$, $L^*_{0aW}=96.0$, $Y_{0aN}=2.5$, $Y_{0aU}=24.9$, $Y_{0aW}=90.0$, $C_{0aY}=Y_{0aW}:Y_{0aN}=36.0$

$L^*_{taN}=19.4$, $L^*_{taU}=57.0$, $L^*_{taW}=95.6$, $Y_{taN}=2.8$, $Y_{taU}=24.9$, $Y_{taW}=89.0$, $C_{taY}=Y_{taW}:Y_{taN}=31.2$

Regularitätsindex nach ISO/IEC 15775:2022, Anhang G für 5 und 9 Stufen

$g^* = 100 [\Delta L^*_{min}] / [\Delta L^*_{max}]$, $L^*_{CIELAB} = 116 [Y/Y_n]^{1/3} - 16$ mit $Y >= 0,882$, $Y_n=100$



egp90-7n

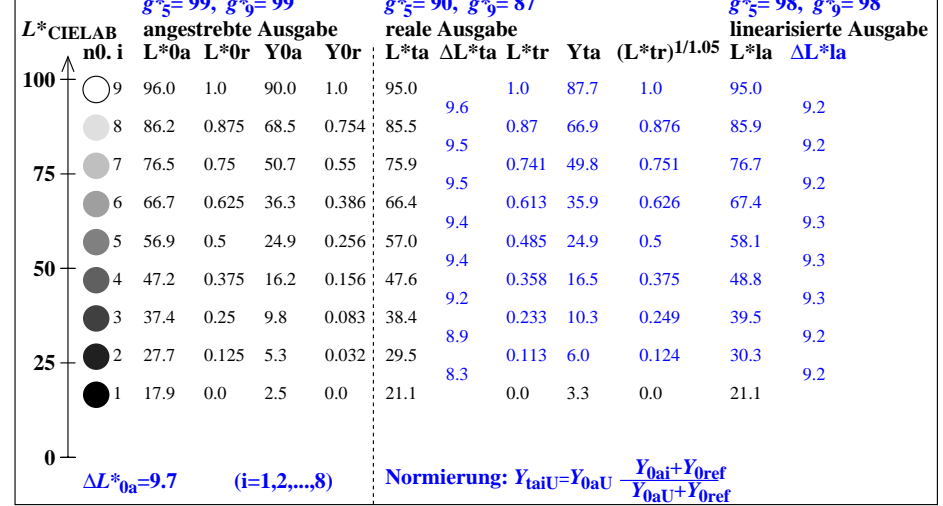
9stufige Grauskalierung zwischen $L^*_{0aN}=17.9$ und $L^*_{0aW}=95.9$, $Y_{0ref}=0.9$, Normierung Grau U

$L^*_{0aN}=17.9$, $L^*_{0aU}=56.9$, $L^*_{0aW}=96.0$, $Y_{0aN}=2.5$, $Y_{0aU}=24.9$, $Y_{0aW}=90.0$, $C_{0aY}=Y_{0aW}:Y_{0aN}=36.0$

$L^*_{taN}=21.1$, $L^*_{taU}=57.0$, $L^*_{taW}=95.0$, $Y_{taN}=3.3$, $Y_{taU}=24.9$, $Y_{taW}=87.7$, $C_{taY}=Y_{taW}:Y_{taN}=26.7$

Regularitätsindex nach ISO/IEC 15775:2022, Anhang G für 5 und 9 Stufen

$g^* = 100 [\Delta L^*_{min}] / [\Delta L^*_{max}]$, $L^*_{CIELAB} = 116 [Y/Y_n]^{1/3} - 16$ mit $Y >= 0,882$, $Y_n=100$



egp91-3n

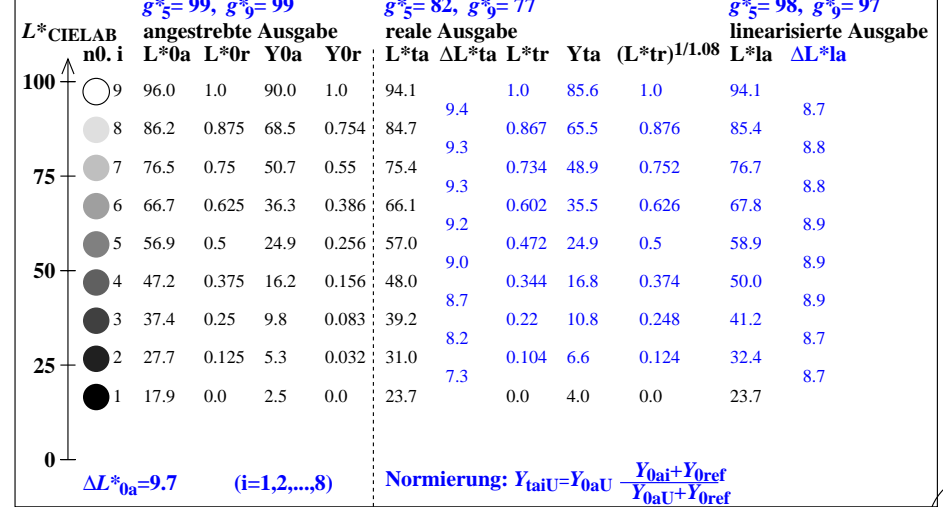
9stufige Grauskalierung zwischen $L^*_{0aN}=17.9$ und $L^*_{0aW}=95.9$, $Y_{0ref}=1.8$, Normierung Grau U

$L^*_{0aN}=17.9$, $L^*_{0aU}=56.9$, $L^*_{0aW}=96.0$, $Y_{0aN}=2.5$, $Y_{0aU}=24.9$, $Y_{0aW}=90.0$, $C_{0aY}=Y_{0aW}:Y_{0aN}=36.0$

$L^*_{taN}=23.7$, $L^*_{taU}=57.0$, $L^*_{taW}=94.1$, $Y_{taN}=4.0$, $Y_{taU}=24.9$, $Y_{taW}=85.6$, $C_{taY}=Y_{taW}:Y_{taN}=21.3$

Regularitätsindex nach ISO/IEC 15775:2022, Anhang G für 5 und 9 Stufen

$g^* = 100 [\Delta L^*_{min}] / [\Delta L^*_{max}]$, $L^*_{CIELAB} = 116 [Y/Y_n]^{1/3} - 16$ mit $Y >= 0,882$, $Y_n=100$



egp91-7n

Siehe ähnliche Dateien der ganzen Serie: http://farbe.li.tu-berlin.de/egps.htm
Technische Information: http://farbe.li.tu-berlin.de oder http://color.li.tu-berlin.de

TUB-Registrierung: 20230701-egp9/egp910np.pdf / .ps
Anwendung für Beurteilung und Messung von Display- oder Druck-Ausgabe
TUB-Material: Code=rh4ta